

## บทที่ 4

### การทดลองและการวิเคราะห์ผลการทดลอง

ในบทนี้จะกล่าวถึงหลักการของเครื่องตัดพลาสม่าที่นำมาทดสอบ โดยเครื่องตัดดังกล่าวนั้น จะใช้หลักการของการกำเนิดแรงดันไฟฟ้ากระแสตรง ร่วมกันกับวงจร คอนเวอร์เตอร์แบบฟลายแบค ในการสร้างแรงดันไฟฟ้าศักย์สูง โดยมีอุปกรณ์ชื่อไฟฟ้า spark gap เพื่อใช้ในการกระตุนให้เกิดสัญญาณพัลส์ในความเวลาต่างๆ ที่ไม่สม่ำเสมอ จากลักษณะผลการทำงานของเครื่องตัดชนิดนี้ สามารถทำการตัดโลหะ ได้แต่ผลที่ได้จากการตัดนั้นจะพบว่ามีรอยตัดที่ไม่ราบรื่นเรียบสม่ำเสมอจากเหตุผลดังกล่าวจึงได้เสนอแนวความคิดในการแก้ปัญหาด้วยวงจรการกระตุนแบบ PWM เพื่อลดปัญหาของการจุดอาร์คเพื่อการกำเนิดพลาสม่า โดยในขั้นตอนในการทดสอบการปรับปรุงมีดังรายละเอียดดังนี้

#### 4.1 วัตถุประสงค์ของการทดลอง

- เพื่อศึกษาการทำงานของเครื่องตัดพลาสม่าแบบดั้งเดิม
- เพื่อบันทึกรอยและลักษณะของการตัด
- เพื่อวิเคราะห์การทำงานของ Spark Gap ในเครื่องตัดแบบดั้งเดิม
- เพื่อสร้างและพัฒนาการสร้างสัญญาณสวิตช์ทดแทนการใช้ Spark Gap แบบดั้งเดิม
- เพื่อเปรียบเทียบการทำงานของเครื่องตัดพลาสม่าแบบดั้งเดิมและแบบที่พัฒนาขึ้น

#### 4.2 อุปกรณ์ที่ใช้ในการทดลอง

1. เครื่องตัดพลาสม่าหัวไปที่นำมาทดสอบ	1 เครื่อง
ขนาด 4.4 กิโลวัตต์	
2. วงจรและแพงวงจรชุดการจุดอาร์คแบบ PWM ขนาด 4.4 กิโลวัตต์	
3. เครื่องมือวัดกระแสไฟฟ้า	1 เครื่อง
4. เครื่องมือวัดสัญญาณอสซิลโลสโคป Rigol,Hantek	1 เครื่อง
5. เครื่องวัด High voltage probe meter	1 เครื่อง
6. เครื่องมือวัดคุณภาพไฟฟ้า ยี่ห้อ Fluke 435 Class A	1 เครื่อง

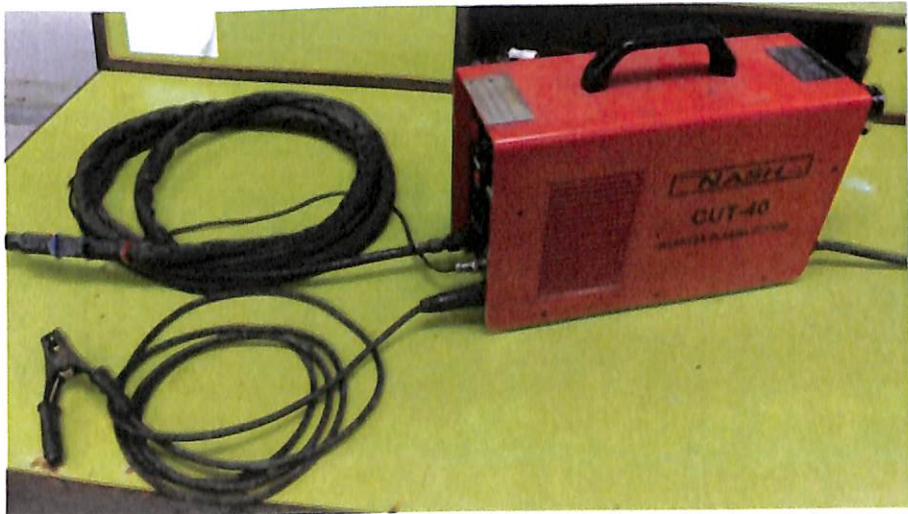
### 4.3 ขั้นตอนการทดลองของเครื่องตัดพลาสม่าแบบดั้งเดิม

- 1 ทำการวัดห้ากระถางจากเครื่องตัดพลาสม่าแบบดั้งเดิม
2. วัดสัญญาณจากการกระแสที่ spark gap
3. ทดสอบคุณภาพรอยตัดพลาสม่าแบบดั้งเดิม
4. วัดค่าแรงดันและการกระแส และรูปคลื่นของสัญญาณแรงดันอินพุตและกระแสอินพุตด้วย

เครื่องวัดคุณภาพไฟฟ้า

#### 4.3.1 เครื่องตัดพลาสม่าแบบดั้งเดิมมาที่นำมาทดสอบ

เครื่องตัดพลาสม่าที่นำมาทดสอบในรูปที่ 4.1 ที่ใช้แรงดันไฟฟ้าทางค้านอินพุต 220 โวลต์ 50 เฮิรต และทำการปรับตั้งกระแสที่ใช้ในการทดสอบ ให้มีกระแสสูงสุดที่ 18 แอมป์ ( ดังแสดงในรูปที่ 4.2) เมื่อพิจารณาจากวงจรตามรูปที่ 3.2 ในบทที่ 3 จะพบว่าการทำงานของเครื่องตัดพลาสม่าชนิดนี้จะอาศัยการทำงานการสร้างศักย์แรงดันไฟฟ้าสูงกระแสตรงผ่านชุด spark gap ( ดังแสดงในรูปที่ 4.3) ส่งสัญญาณไฟฟ้ากระแสสลับไปที่โพรป หัวตัด ในงานวิจัยนี้จะพัฒนาในวงจรในภาคนี้

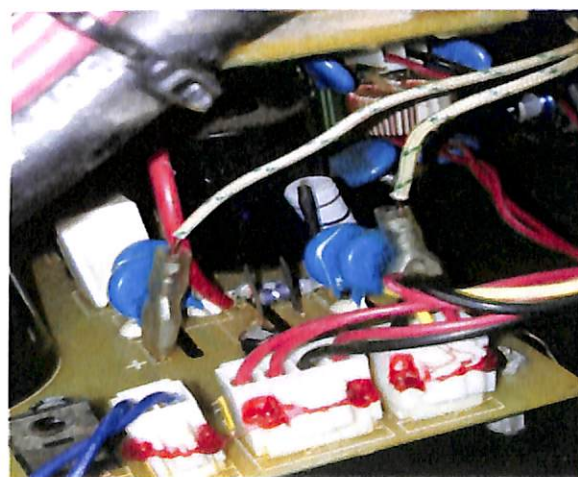


รูปที่ 4.1 เครื่องตัดพลาสม่าแบบดั้งเดิมที่นำมาทดสอบ



รูปที่ 4.2 ค่ากระแสเครื่องตัดพลาสmaแบบดั้งเดิม

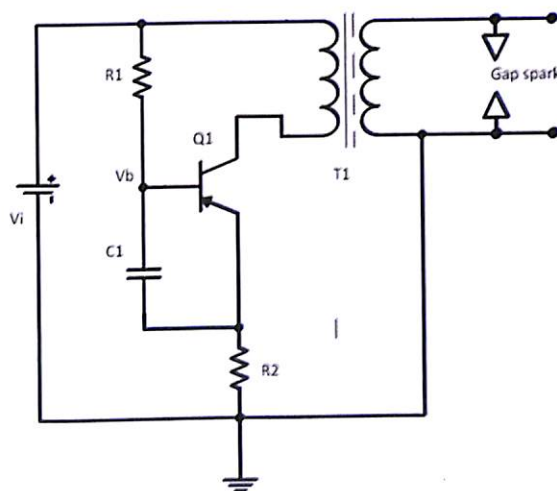
ทำการทดสอบปรับตั้งค่ากระแสตัดสูงสุดซึ่งทำการวัดค่ากระแสทางด้านอินพุทของเครื่องตัดพลาสmaที่สามารถทำได้แล้วจึงทำการทดสอบการตัดต่อไป



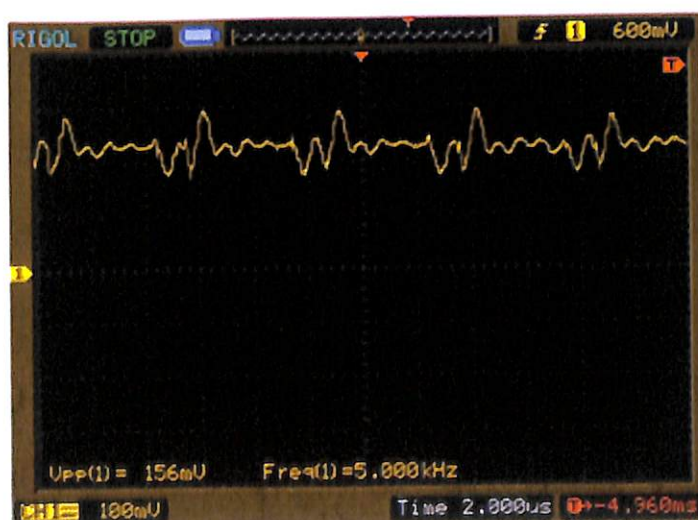
รูปที่ 4.3 ตำแหน่งของส่วนspark gap

จากการภายในในส่วนของคอนเวอร์เตอร์ในเครื่องตัดพลาสmaแบบดั้งเดิม ที่ใช้ Spark Gap เป็นตัวสร้างสัญญาณไฟฟ้ากระแสสลับ จะแสดงให้เห็นดังรูปที่ 4.4 ซึ่งจะประกอบด้วยหม้อแปลงไฟฟ้าเชื่อมโดยใช้ทรานซิสเตอร์ Q1 เป็นตัวขับเกลื่อน เมื่อแรงดันไฟฟ้าผ่านไปยังตัว Spark

Gap จะเกิดการ Spark และเกิดการยุบตัวและเห็นว่านำสลับกันของหม้อแปลงไฟฟ้าค้างไว้ ซึ่งจะช่วยลดความดันที่ไม่แน่นอน ล่างไปยังหัวตัด จะรอยตัดที่แสดงให้เห็นในรูปที่ 4.8 ก. จะมีรอยที่ไม่แน่นอน ถ้าสังเกตทางกายภาพตำแหน่งจุดอาร์คโดยการสร้าง Gap จากการถ่ายเทประจุผ่านอากาศ นั้นเมื่อใช้ไปถักระยะหนึ่งจะเกิดออกไซด์ของจุดสัมผัสและการถ่ายเทประจุผ่านอากาศ มีความไม่แน่นอน และสัญญาณที่วัดได้ที่ขาเบสของทรานซิสเตอร์จะแสดงให้เห็นดังรูปที่ 4.5 มีจังหวะการสวิตช์ต่อเนื่อง ซึ่งการปรับปรุงของวิทยานิพนธ์นี้จะเปลี่ยนเป็นแบบสวิตช์ซึ่งให้จังหวะในการควบคุมการตัดที่สามารถกว้างแบนด์เดิน

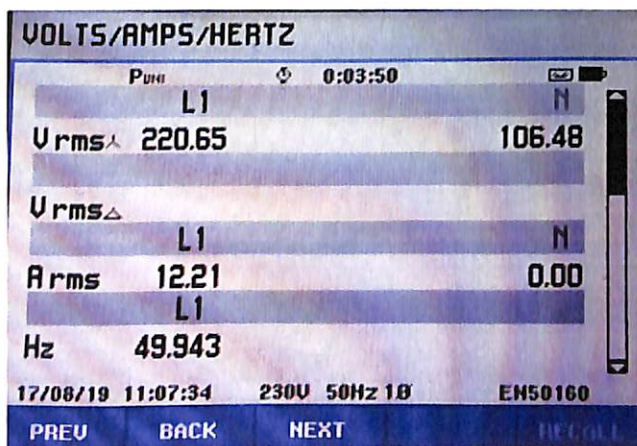


รูปที่ 4.4 วงจรชุดขับเคลื่อนของส่วน spark gap

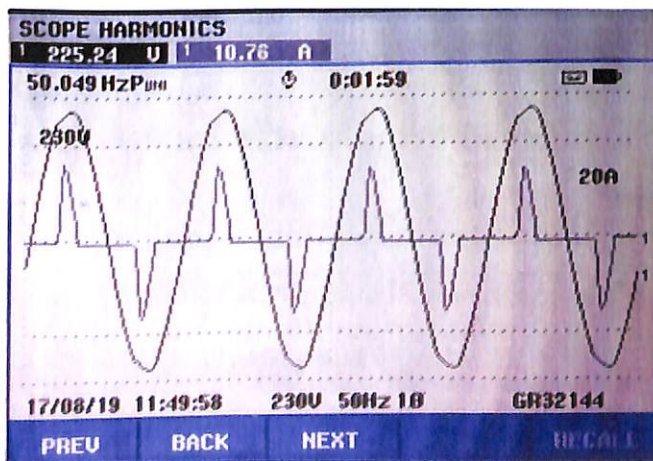


รูปที่ 4.5 สัญญาณของส่วน spark gap ที่จุด Vb

ในขั้นตอนสุดท้ายจะวัดค่าแรงดันและกระแสอินพุตจากแหล่งจ่ายก็วายเครื่องวัดคุณภาพไฟฟ้าเยี่ยห้อ Fluke 435 Class A โดยค่าแรงดันและกระแสไฟฟ้าลับ 1 เฟสที่จ่ายให้เครื่องตัดแบบดึงเดิมดังแสดงในรูปที่ 4.6. มีผลของค่ากระแสอินพุต 12.21 แอมป์ และ รูปคลื่นของแรงดันและกระแสแสดงดังรูปที่ 4.7 แสดงให้เห็นว่ากระแสไม่เป็นเรียงเส้นเกิดจากช่วงการเก็บประจุและคายประจุของตัวเก็บประจุที่ใช้เป็นตัวกรองแบบเฟลเดียวที่ DC bus. มีผลทำให้เกิด harmonic nonlinearity ในระบบไฟฟ้าซึ่งยังไม่ได้ทำการปรับปรุงผลของกระแสหาร์มอนิก



รูปที่ 4.6 แรงดันและกระแสที่ใช้ของเครื่องตัดพลาสม่าแบบดึงเดิม

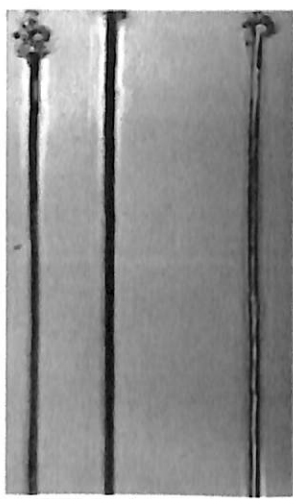


รูปที่ 4.7 รูปคลื่นของกระแส Harmonics อินพุตของเครื่องตัดพลาสม่าแบบดึงเดิม

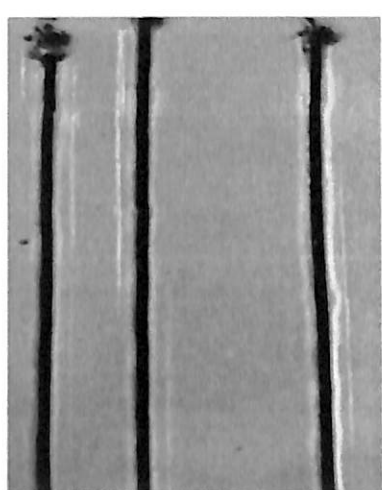
จากรูปที่ 4.7 เป็นรูปคลื่นของกระแสอินพุตหรือกระแสที่สายของระบบ 1 เฟสที่จ่ายเข้าเครื่องตัดแบบดึงเดิม

#### 4.3.2 รอยตัดจากการทดลองเครื่องตัดแบบดึงเดิน

จากการทดสอบจะเห็นได้ว่ารอยการตัดของเครื่องตัดพลาสมาแบบดึงเดินนี้รอยตัดไม่สม่ำเสมอเนื่องจากเมื่อทำการตัดเป็นไฟตัดของเครื่องที่ขายตามห้องตลาดมีวงกว้างทำให้ขอบรอยตัดเกิดมีรอยไฟมีมากทำให้ผิวขอบรอบรอยตัดมีลักษณะขรุขระ เพราะกำลังการจุดหดломคล้ายไม่สม่ำเสมอ ซึ่งขึ้นกับโลหะด้วยดังแสดงในรูปที่ 4.8



ก. รอยตัดที่ความหนา 1.0



ข. รอยตัดที่ความหนา 2.0 mm

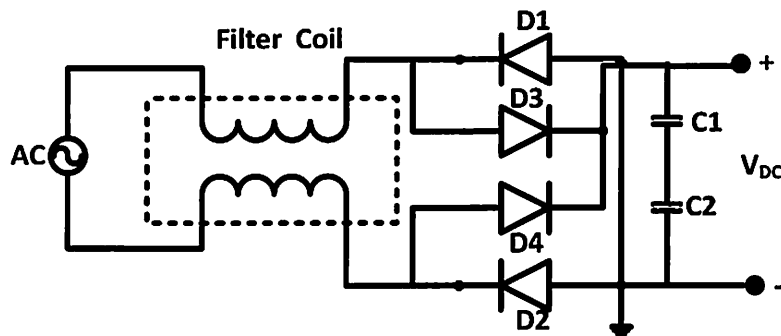
รูปที่ 4.8 รอยตัดของเครื่องแบบดึงเดิน

#### 4.4 ทดลองของเครื่องตัดพลาสma ที่สร้างขึ้นในการทำวิทยานิพนธ์

ในลำดับของหัวข้อนี้ จะนำเสนอการสร้างเครื่องตัดพลาสma ที่พัฒนาจากแบบดึงเดินโดยปรับปรุงในส่วนของคอนเวอร์เตอร์ ที่ใช้ฟลายแบค สร้างสัญญาณสวิตชิ้งที่ความถี่ 50 kHz แทนการใช้ Spark Gap ซึ่งลำดับการสร้างส่วนประกอบของวงจรต่าง ๆ นำเสนอต่อไปดังนี้

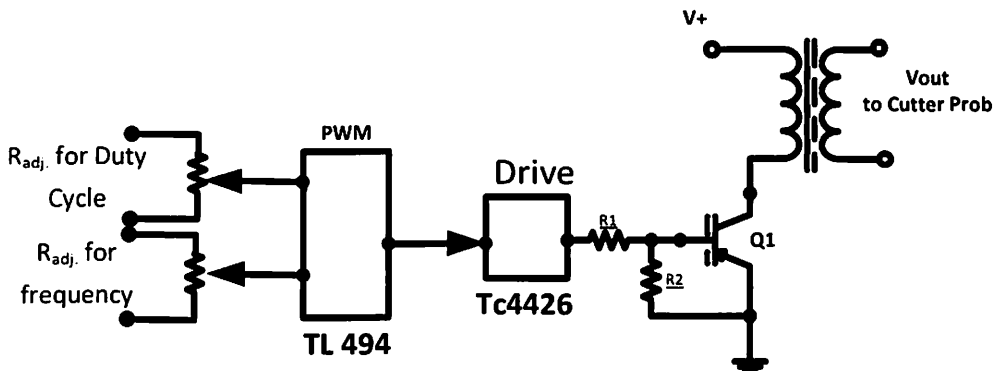
##### 4.4.1 เครื่องตัดพลาสma ที่สร้างขึ้นในการทำวิทยานิพนธ์

จากที่ได้กล่าวถึงการออกแบบเครื่องตัดโลหะในบทที่แล้วนี้ จะนำตัวเครื่องตัดโลหะที่สร้างขึ้นมาซึ่งมีวงจรโดยรวมดังรูปที่ 4.10 การทดลองนั้นจะใช้แผ่นเหล็กที่มีความหนาต่างกันทำการตัดโดยเทียบกัน



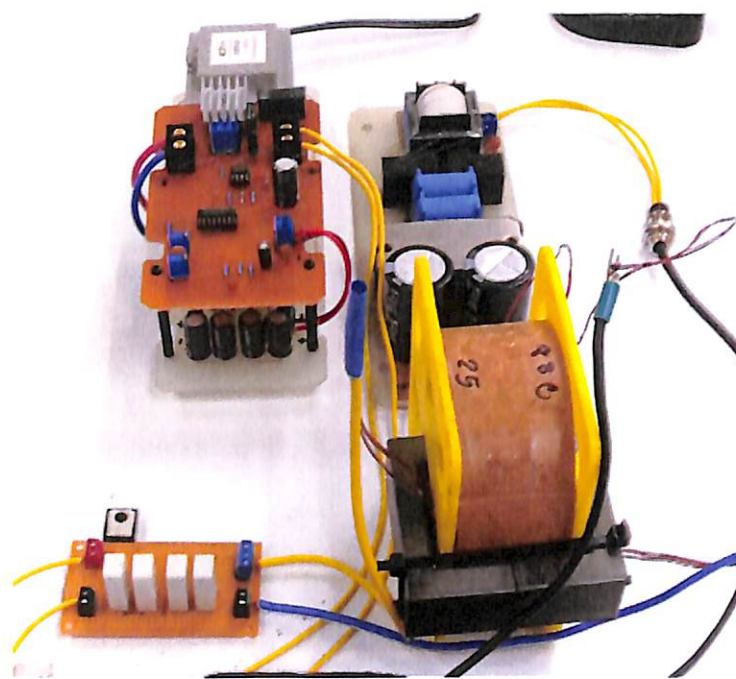
รูปที่ 4.9 วงจรเรียงกระแสที่สร้างขึ้น

ในการตัดโลหะแบบพลาสม่าจำเป็นต้องมีแหล่งจ่ายไฟกระแสตรงจากกรุปที่ 4.9 เป็นวงจรเรียงกระแส 1 เฟสซึ่งจะรับแรงดันไฟฟ้ากระแสลับ 220 โวล แปลงให้เป็นแรงดันไฟฟ้ากระแสตรง 311 โวลเพื่อใช้ในวิทยานิพนธ์

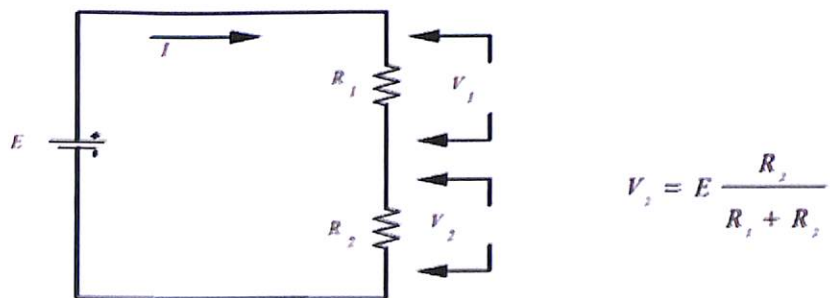


รูปที่ 4.10 วงจรโดยรวมที่สร้างขึ้น

จากรูป 4.10 จะเห็นวงจรโดยรวมของเครื่องตัดที่สร้างขึ้นมี IC-TL494 เป็นตัวสร้างสัญญาณ PWM ซึ่งสามารถที่จะปรับ ความถี่และความเวลาของสัญญาณที่ออกไปใช้งานได้อีกด้วยซึ่งสัญญาณที่ได้นั้นจะทำการส่งต่อให้กับ IC-Tc4426 ซึ่งเป็น IC ที่ใช้ในการขับ IGBT ในวงจรชดเชยเพื่อไปกระแสตู้นหม้อแปลงฟลายแบคให้สร้างแรงดันไฟฟ้าที่ใช้ในการตัดโลหะ



รูปที่ 4.11 เครื่องตัดพลาสม่าที่สร้างขึ้นในรูปจริง



รูปที่ 4.12 การต่อวงจรแบ่งแรงดัน

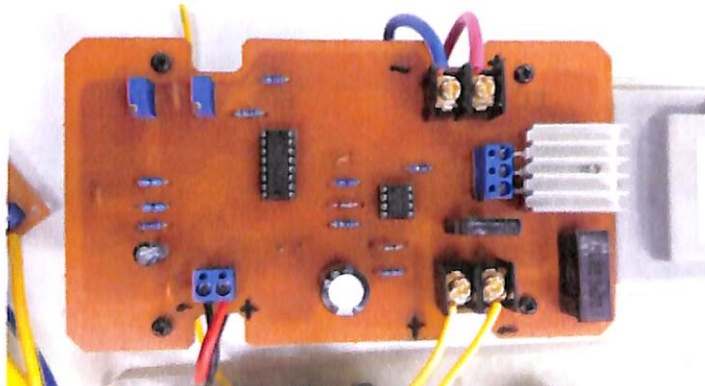
ทำการทดสอบวัดค่าแรงดันเอาท์พุทจากหม้อแปลงแรงดันไฟฟ้าสูงที่ได้สร้างขึ้นโดยได้ค่าที่วัดออกมาที่  $R_2 = 155V$  นำค่าที่วัดได้แทนลงในสมการ จาก  $V_2=155V, R_1=10K\Omega, R_2= 1M\Omega$  จะสามารถคำนวณค่าแรงดันด้านเอาท์พุทของหม้อแปลง  $E=15.655 kV$  ซึ่งมีค่าใกล้เคียงกับแรงดันของหม้อแปลง High Volt ที่ได้ทำการออกแบบไว้ ดังรูปที่ 4.13



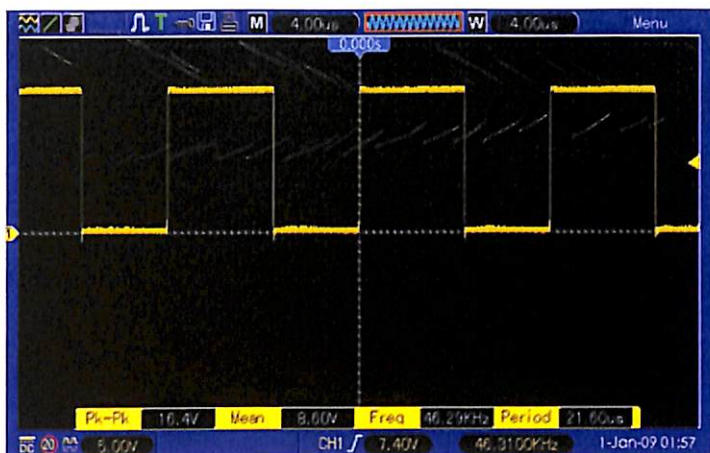
รูปที่ 4.13 การวัดแรงดันของหม้อแปลง High Volt ที่ R2

หลังจากทำการต่อโวลต์เตจดิจิตอลและวัดค่าแรงดันแล้วจึงเริ่มทำการทดลองโดยมีรายละเอียดดังต่อไปนี้

วงจร PWM ที่ได้สร้างขึ้นตามการออกแบบดังรูปที่ 4.14 สามารถปรับความถี่ได้สูงสุดที่ 50 kHz พร้อมทั้งยังสามารถปรับ คิวตี้ไซเคิล ที่เหมาะสมต่อการเปิด-ปิด Switch เพื่อกระตุ้นสัญญาณ Pulse ให้กับอุปกรณ์อิเล็กทรอนิกส์กำลังที่เป็น IGBT โดยสัญญาณ PWM ที่ได้จาก IC-TL494 แสดงดังรูปที่ 4.15 โดยสัญญาณ PWM ที่ทดลองนี้ทำการปรับไว้ที่  $F = 50\text{kHz}$ , ค่า Duty Cycle = 50%

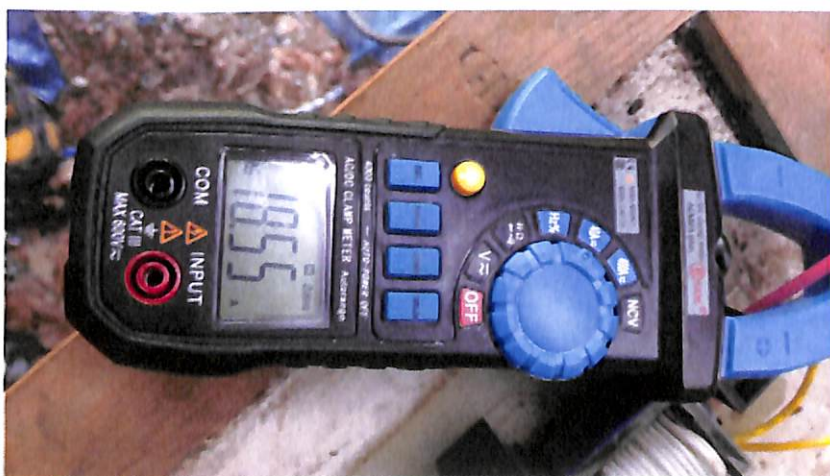


รูปที่ 4.14 วงจร PWM ที่สร้างขึ้นในวิทยานิพนธ์



รูปที่ 4.15 แสดงสัญญาณ PWM

เป็นการแสดงผลของสัญญาณที่ได้จากการออกแบบวงจรซึ่งมีค่าความถี่สูงสุดใกล้เคียงกับที่ได้ออกแบบไว้



รูปที่ 4.16 แสดงค่ากระแสอินพุต

จากรูปที่ 4.16 เป็นค่าของกระแสที่ใช้ในการทดสอบการตัดแผ่นโลหะ ขนาด 1 mm และ 2 mm ซึ่งจะมีกระแสใกล้เคียงกับเครื่องตัดโลหะแบบหัวไปที่ทำการทดสอบในพิกัดกระแสเดียวกัน

จากรูปที่ 4.17 รูปสัญญาณสีเหลืองเป็นสัญญาณขาเกตของ IGBT ส่วนสีฟ้าเป็นการวัดกระแสที่ใช้ในการตัดของเครื่องตัดพลาสม่าหลังจากจุดพลาสม่าครั้งแรก กระแสเริ่มต้นตัดจะมี

กระแสสูง ดังแสดงในรูปที่ 4.18 หลังจากจุดพลาสม่าไปแล้วนั้นกระแสจะลดลงดังรูปที่ 4.17 เมื่อทำการตัดเหล็กต่อเนื่องจะเห็นได้ว่ากระแสจะคงที่ไปตลอดการตัดจนเสร็จดังรูปที่ 4.19



รูปที่ 4.17 แสดงรูปลักษณ์ของ PWM และกระแสอินพุต( สีฟ้า) ในขณะตัดครั้งที่ 1



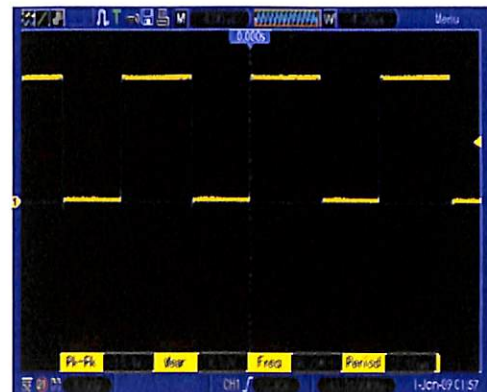
รูปที่ 4.18 แสดงรูปลักษณ์ของ PWM และกระแสอินพุต( สีฟ้า) ในขณะตัดครั้งที่ 2



รูปที่ 4.19 แสดงกระแสขณะทำการตัดต่อเนื่อง



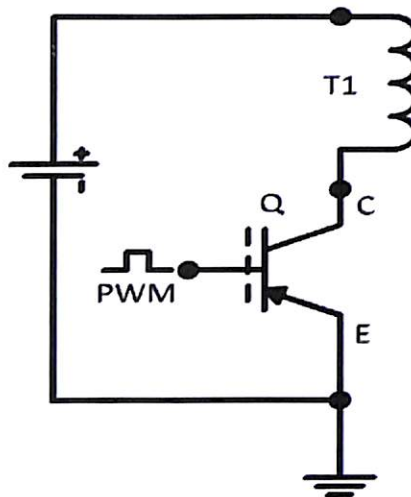
ก.สัญญาณจุดอาร์คเครื่องแบบดึงเดิม



ข.สัญญาณจุดอาร์คเครื่องตัดในวิทยานิพนธ์

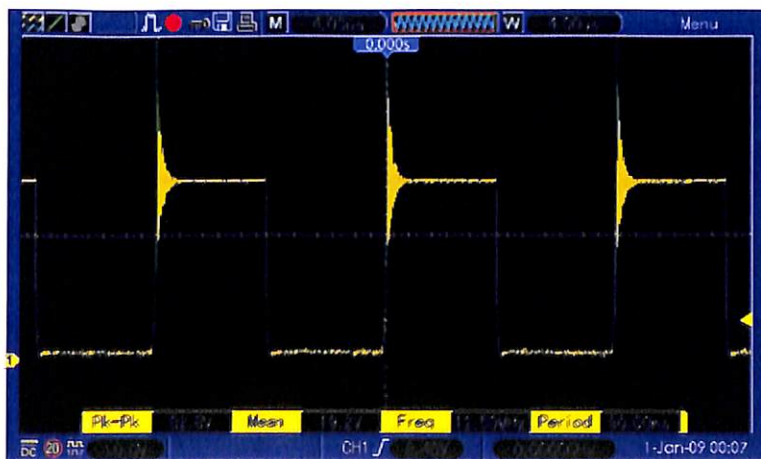
รูปที่ 4.20 แสดงสัญญาณ PWM ของขาเกต IGBT

จากรูปที่ 4.20 เป็นภาพแสดงสัญญาณ PWM ซึ่งทำการวัดที่ขาเกตของไอจีบีที ขณะทำการตัดแผ่นโลหะ เมื่อนำสัญญาณเกตของชุดขับ ก. เปรียบเทียบกับ ข. เครื่องตัดในวิทยานิพนธ์ จะเห็นว่า สัญญาณแรงดันมีรูปแบบเป็น Chopper สมบูรณ์มีการรับกวนน้อยและไม่เกิดความร้อนทำให้พลังงานสูญเสียน้อยและมีรูปแบบการสวิทช์ ที่เป็น Uniform



รูปที่ 4.21 วงจรชุดขั้นเคี้ยวอ่อนหน้อแปลง High Volt

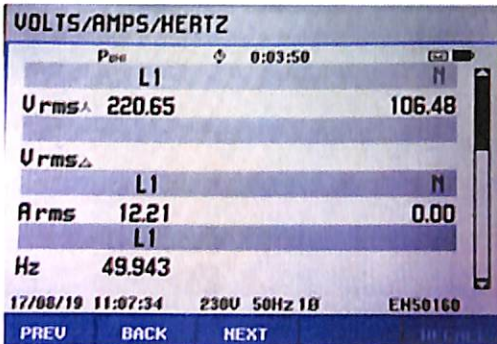
จากรูปที่ 4.21 ได้ทำการวัดรูปสัญญาณที่ตอกคร่อมระหว่าง ขาคอดเลคเตอร์-อินิเตอร์ ของ IGBT ซึ่งปรากฏว่ารูปสัญญาณแบบพลัล์ ที่ความถี่ 50 kHz. มีสัญญาณความผุ่งเกินซึ่งสามารถปรับแต่งได้จากการจำกัดกระแสเกตของ IGBT เป็นธรรมชาติของวงจรข้อปเปอร์ แต่จะทำให้เอาท์พุทเป็น Uniform ซึ่งดีกว่าการใช้ Spark Gap ดังแสดงในรูปที่ 4.22



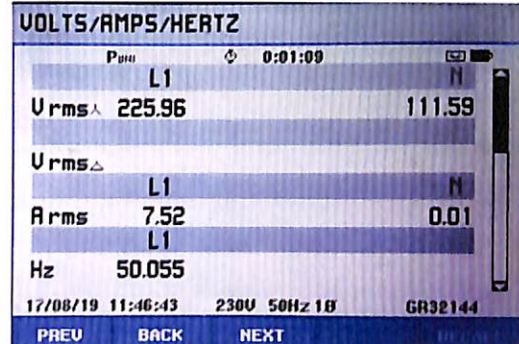
รูปที่ 4.22 แสดงสัญญาณ PWM ของขาคอดเลคเตอร์-อินิเตอร์

เมื่อเปรียบเทียบผลการทดสอบจากการวัดค่าแรงดันและกระแสจะพบว่าเครื่องตัดพลาสม่าแบบดึงเดิมนั้นมีการใช้พลังงานที่มากกว่าเครื่องตัดพลาสม่าที่ออกแบบสร้างขึ้น โดยที่เครื่องตัดพลาสม่าแบบดึงเดิมนั้นมีการใช้พลังงานที่เท่ากับ 2.694 kW ในขณะที่เครื่องที่ทำการออกแบบสร้าง

ขึ้นในวิทยานิพนธ์นี้มีการใช้พลังงานที่เท่ากับ 1.7kW เมื่อทำการเทียบประสิทธิภาพของเครื่องตัดที่ออกแบบในวิทยานิพนธ์ครั้งนี้พบว่ามีค่ามากถึง 63.19 เปอร์เซ็นต์ ดังรูปที่ 4.23



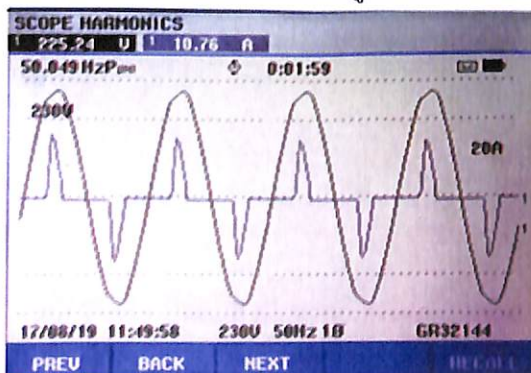
ก.เครื่องตัดพลาสมาแบบดั้งเดิม



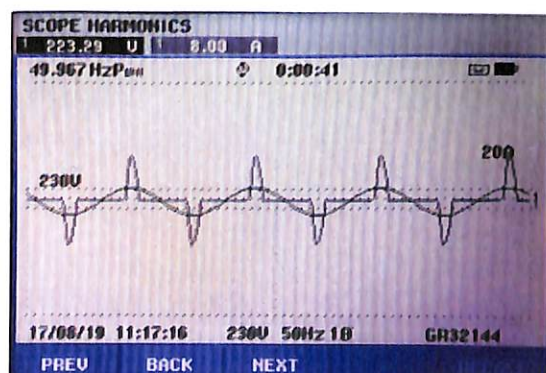
ข.เครื่องตัดพลาสماที่สร้างในวิทยานิพนธ์

รูปที่ 4.23 เปรียบเทียบแรงดันและกระแสที่ใช้ของเครื่องตัดพลาสma

ในรูปที่ 4.24 ซึ่งเป็นการแสดงผลเปรียบเทียบรูปคลื่นของกระแส Harmonics อินพุทหรือกระแสที่ในส่วนของกระแสไฟฟ้าสลับของระบบ 1 เฟสที่จ่ายเข้าเครื่องตัดทั้งสองจะสังเกตเห็นว่ารูปคลื่นของเครื่องตัดพลาสmaแบบดั้งเดิมและเครื่องตัดพลาสmaที่สร้างในวิทยานิพนธ์นี้มี Wave form ที่เหมือนกัน ดังนั้นจึงเป็นการยืนยันได้ว่าประสิทธิภาพของเครื่องตัดพลาสmaที่ออกแบบในวิทยานิพนธ์นี้มีประสิทธิภาพที่สูงกว่า



ก.เครื่องตัดพลาสmaแบบดั้งเดิม



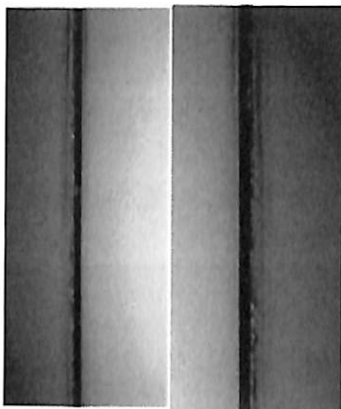
ข.เครื่องตัดพลาสmaที่พัฒนาขึ้น

รูปที่ 4.24 แสดงรูปคลื่นของกระแส Harmonics อินพุท

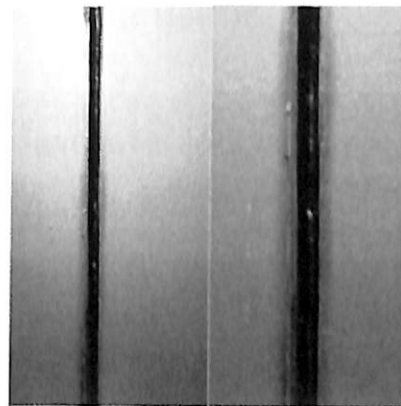
#### 4.4.2 ผลของการทดสอบจากการทดลอง

จากการทดสอบจะเห็นได้ว่าอย่างของการตัดของเครื่องตัดพลาสmaที่สร้างขึ้นนี้มีรอยตัดที่สม่ำเสมอต่อเนื่องกันเนื่องจากเมื่อทำการตัดเปลาไฟตัดของเครื่องที่สร้างขึ้นนี้มีความคงที่จึงทำ

ให้ข้อมูลตัดเกิดมีรอยไหหม้อน้อยทำให้ผิวของขอบรอบไม่เกิดความชุบระและแนวตัดมีความเที่ยงตรงกว่ามาก ดังรูปที่ 4.25



ก.รอยตัดที่ความหนา 1.0 mm



ข.รอยตัดที่ความหนา 2.0 mm

รูปที่ 4.25 รอยตัดของเครื่องที่สร้างขึ้น

จากการทดลองในบทนี้ได้แสดงให้เห็นถึง การทดลองเปรียบเทียบระหว่างเครื่องตัดพาราฟินแบบดั้งเดิม และเครื่องตัดพาราฟินที่สร้างขึ้น จะเห็นได้จากการอยู่ตัดทางกายภาพว่าการใช้วงจรคอนเวอร์เตอร์แบบฟลายแบคแทนการใช้ Spark Gap แบบดั้งเดิมมีผลลัพธ์ของการตัดที่ดีกว่า มีความเรียบเรียบ และค่ากำลังไฟฟ้าที่ได้รับจากเครื่องที่สร้างขึ้นมีค่าน้อยลงในปีกดักการอุดแบบที่เท่ากัน ซึ่งเป็นแนวทางหนึ่งในการพัฒนาต่อไป